

АЛГОРИТМЫ ИДЕНТИФИКАЦИИ КОМПЛЕКСНЫХ ЭКСПОНЕНЦИАЛЬНО-МОДУЛИРОВАННЫХ ГАРМОНИК В РАМКАХ МЕТОДА АНАЛИЗА СИНГУЛЯРНОГО СПЕКТРА¹

Жорникова П. Г., студент кафедры статистического моделирования СПбГУ,
polina.zhornikova@mail.ru

Голяндина Н.Э., к.ф.-м.н., доцент кафедры статистического моделирования
СПбГУ, n.golyandina@spbu.ru

Аннотация

Рассматривается задача идентификации периодических компонент в комплексно-значных временных рядах с помощью метода SSA (Singular Spectrum Analysis). Результатом работы первого этапа метода SSA является сингулярное разложение ряда на элементарные компоненты, среди которых требуются найти те, что относятся к периодическим компонентам. Для вещественного случая методы идентификации таких компонент хорошо разработаны. Однако, они оказываются неприменимыми в комплексном случае. В данной работе предлагаются и обосновываются алгоритмы идентификации периодических компонент в комплексном случае.

Введение

Рассмотрим задачу идентификации периодических компонент в комплексно-значных временных рядах. Одним из методов разложения временных рядов на тренд, периодические компоненты и шум, не требующим априорного задания модели ряда, является метод анализа сингулярного спектра (SSA, Singular Spectrum Analysis) [4]. Первый шаг метода SSA состоит из построения на основе временного ряда так называемой траекторной матрицы, столбцами которой являются отрезки временного ряда длины L , называемой длиной окна. На втором шаге траекторная матрица раскладывается в элементарные матрицы ранга 1 с помощью сингулярного разложения. Каждая элементарная матрица задаётся сингулярным числом и левым и правым сингулярными векторами. Третий шаг состоит из идентификации элементарных компонент, соответствующих интересующим нас компонентам, и их группировки. И, наконец, на последнем шаге сгруппированные компоненты преобразуются обратно во временные ряды. Соответственно, если мы правильно

¹ Работа поддержана грантом РФФИ 16-04-000821

но идентифицировали компоненты, относящиеся к тренду, то получим трендовую составляющую ряда; аналогично, правильная группировка позволяет выделить периодические компоненты.

Метод SSA хорошо согласуется с выделение экспоненциально-модулированных (э.-м.) гармоник вида $x_k = ae^{\alpha k} \cos(2\pi\omega k + \phi)$, поэтому задачей данной статьи будем считать выделение обобщённых периодик, являющихся суммой экспоненциально-модулированных гармоник. Будем рассматривать случай $0 < \omega < 0.5$.

Из теории метода SSA известно, что в вещественном случае э.-м. гармоника порождает в разложении (в условиях её приближённой отделимости) две элементарные компоненты, причём соответствующие сингулярные вектора также имеют вид э.-м. гармоник, возможно, приближённо, и фазы отличаются примерно на $\pi/2$. Поэтому двумерная диаграмма, где по оси X откладывается один сингулярный вектор (для определённости, будем рассматривать левые сингулярные вектора), а по оси Y — второй, будет иметь регулярный вид. В частности, если $\alpha = 0$, то точки будут лежать на окружности, например, образуя правильный многоугольник, а в общем случае точки лежат на спирали. Такие пары векторов можно как находить визуально, так и строить алгоритмы их количественной идентификации [1].

Заметим, что в вещественном случае сингулярные вектора определены с точностью до знака, что не портит их характерные черты и не влияет на алгоритмы идентификации. Однако в комплексном случае [5, 3, 2], когда рассматривается комплексное сингулярное разложение, сингулярные вектора определены с точностью до умножения на $e^{i2\pi t}$, где t — произвольное число от 0 до 1. Эта свобода в определении сингулярных векторов портит структуру двумерных диаграмм.

Задачей данной работы является построение и обоснование алгоритмов нахождения t , такого что сингулярные вектора снова становятся идентифицируемыми.

Теоретические сведения и результаты

Method Complex SSA

Опишем коротко, согласно [3], базовый алгоритм метода Complex SSA. На вход алгоритма поступает комплекснозначный ряд $F_N = (f_1, \dots, f_N)$ длины $N > 2$. Метод можно разделить на два этапа: разложение и восстановление.

1. На этапе разложения выбирается параметр $1 < L < N$, называемый

«длиной окна». Затем ряду F_N сопоставляется его траекторная (ганкелева) матрица \mathbf{X} размера $L \times K$, $K = N - L + 1$,
 $\mathbf{X} = (x_{ij})_{i,j=1}^{L,K} = [X_1 : \dots : X_K]$, $X_i = (f_{i-1}, \dots, f_{i+L-2})^T$, $1 \leq i \leq K$.
 Далее происходит сингулярное разложение (SVD) матрицы \mathbf{X}

$$\mathbf{X} = \mathbf{X}_1 + \dots + \mathbf{X}_d, \quad (1)$$

где $\mathbf{X}_i = \sqrt{\lambda_i} U_i V_i^*$, $d = \max\{i : \lambda_i > 0\}$, $\lambda_1, \dots, \lambda_d$ — положительные собственные числа матрицы $\mathbf{X}\mathbf{X}^*$, взятые в неубывающем порядке, и U_1, \dots, U_d — соответствующие им ортонормированные собственные вектора, $V_i = \mathbf{X}^* U_i / \sqrt{\lambda_i}$, * обозначает эрмитово сопряжение. Числа $\sqrt{\lambda_i}$ называются *сингулярными числами*, U_i и V_i — *левыми* и *правыми сингулярными векторами* матрицы \mathbf{X} соответственно.

2. Этап восстановления начинается с процедуры группировки, которая делит все множество индексов $1, \dots, d$, полученных в результате разложения (1), на m не пересекающихся подмножеств I_1, \dots, I_m . Результирующая матрица \mathbf{X}_I , соответствующая группе $I = \{i_1, \dots, i_p\}$, определяется как $\mathbf{X}_I = \mathbf{X}_{i_1} + \dots + \mathbf{X}_{i_p}$. Вычислив такие матрицы для всех групп $I = I_1, \dots, I_m$, получаем сгруппированный вид представления (1):

$$\mathbf{X} = \mathbf{X}_{I_1} + \dots + \mathbf{X}_{I_m}. \quad (2)$$

Далее происходит процедура диагонального усреднения. Для произвольной матрицы \mathbf{Y} размера $L \times K$ она состоит в следующем: матрице \mathbf{Y} сопоставляется ряд $Y_N = (y_1, \dots, y_N)$ такой, что $N = L + K - 1$, а y_i — среднее элементов y_{jk} матрицы \mathbf{Y} , удовлетворяющих $j + k = i + 1$. Применяя диагональное усреднение к результирующим матрицам \mathbf{X}_{I_k} , получаем восстановленные ряды $\check{F}_N^{(k)} = (\check{f}_1^{(k)}, \dots, \check{f}_N^{(k)})$. Таким образом, исходный комплекснозначный ряд $F_N = (f_1, \dots, f_N)$ раскладывается в сумму m комплекснозначных рядов

$$F_N = \sum_{k=1}^m \check{F}_N^{(k)} = \sum_{k=1}^m (\check{F}_N^{(1,k)} + i \check{F}_N^{(2,k)}).$$

Э.-м. гармонический ряд

Элементы комплекснозначного экспоненциально-модулированного гармонического ряда S_N имеют вид

$$s_k = e^{\alpha k} (a \cos(2\pi\omega k + \phi_1) + i b \cos(2\pi\omega k + \phi_2)), \quad (3)$$

где $0 < \omega < 0.5$, $0 \leq \phi_1, \phi_2 < 2\pi$, $a, b \neq 0$.

Особым случаем является

$$a = b, \quad |\phi_1 - \phi_2| = \pi/2 \pmod{\pi}. \quad (4)$$

L -Ранг ряда d — это ранг его траекторной матрицы и, следовательно, количество левых или правых сингулярных векторов, соответствующих ненулевым сингулярным числам траекторной матрицы \mathbf{X} . Для определённости будем рассматривать левые сингулярные вектора U_1, \dots, U_d , т.е. собственные вектора матрицы $\mathbf{X}\mathbf{X}^*$.

Лемма 1 1. Если условие (4) не выполнено, то ранг ряда S_N равен 2 и элементы собственных векторов U_1 и U_2 имеют вид

$$u_k^{(1)} = e^{\alpha k} (c_{11} \cos(2\pi\omega k + \phi_1) + i c_{12} \cos(2\pi\omega k + \psi_1)), \quad (5)$$

$$u_k^{(2)} = e^{\alpha k} (c_{21} \cos(2\pi\omega k + \phi_2) + i c_{22} \cos(2\pi\omega k + \psi_2)), \quad (6)$$

где $1 \leq k \leq L$, $0 \leq \phi_1, \phi_2, \psi_1, \psi_2 < 2\pi$, $c_{11}, c_{12}, c_{21}, c_{22} \neq 0$.

2. Если условие (4) выполнено, то ранг ряда S_N равен 1 и элементы собственного вектора U_1 имеют вид

$$u_k^{(1)} = c e^{i2\pi\omega k + \alpha k}, \quad c \neq 0.$$

Замечание 1 По свойствам сингулярного разложения, сингулярные вектора определены неоднозначно. В частности, если U — собственный вектор, то и $e^{i2\pi t} U$ — тоже собственный вектор.

Введем теперь для пары векторов $A = (a_1, \dots, a_L)^T$, $B = (b_1, \dots, b_L)^T$ и некоторого числа $0 \leq t \leq 1$ два функционала. Пусть $W(t) = e^{i2\pi t} B$. Определим

$$\tau_1(A, B; t) := \frac{1}{L} \sum_{k=1}^L (x_k - \bar{x})^2 + \frac{1}{L} \sum_{k=1}^L (y_k - \bar{y})^2,$$

где $x_k = (\operatorname{Re} a_k)^2 + (\operatorname{Re} w_k(t))^2$, $y_k = (\operatorname{Im} a_k)^2 + (\operatorname{Im} w_k(t))^2$, и

$$\tau_2(A, B; t) := \frac{1}{L-1} \sum_{k=1}^{L-1} (\Phi_k - \bar{\Phi})^2 + \frac{1}{L-1} \sum_{k=1}^{L-1} (\Psi_k - \bar{\Psi})^2,$$

где Φ_k — угол между векторами $(\operatorname{Re} a_k, \operatorname{Re} w_k(t))^T$ и $(\operatorname{Re} a_{k+1}, \operatorname{Re} w_{k+1}(t))^T$; а Ψ_k — угол между $(\operatorname{Im} a_k, \operatorname{Im} w_k(t))^T$ и $(\operatorname{Im} a_{k+1}, \operatorname{Im} w_{k+1}(t))^T$.

Замечание 2 1. Равенство $\tau_1(A, B; t) = 0$ означает, что точки, составленные из вещественных частей $(\operatorname{Re} a_k, \operatorname{Re} w_k(t))^T$, лежат на одной окружности, и то же самое верно для точек $(\operatorname{Im} a_k, \operatorname{Im} w_k(t))^T$.

2. Равенство $\tau_2(A, B; t) = 0$ означает, что все углы между последовательными точками двумерной диаграммы мнимых и двумерной диаграммы вещественных частей векторов A и $W(t)$ одинаковые. Если при этом нормы этих векторов медленно меняются по k , то на двумерных диаграммах получаются «спирали».

Следующие утверждения следуют из леммы 1 и ортонормированности собственных векторов.

Утверждение 1 Пусть для ряда S_N не выполнено условие (4). Тогда

1. если $\alpha = \alpha_N = C/N$, где C — некоторая константа, и $L = [\beta N]$, где $0 < \beta < 1$, то существует такое $t = t(U_1, U_2, L)$, $0 \leq t \leq 1$, что $\lim_{L \rightarrow \infty} \tau_2(U_1, U_2; t) = 0$;
2. если $\alpha = 0$, то существует такое $t = t(U_1, U_2, L)$, $0 \leq t \leq 1$, что $\lim_{L \rightarrow \infty} \tau_1(U_1, U_2; t) = 0$ и $\lim_{L \rightarrow \infty} \tau_2(U_1, U_2; t) = 0$;
3. если $\alpha = 0$ и $L\omega$ — целое, то существует такое $0 \leq t \leq 1$, что $\tau_1(U_1, U_2; t) = 0$ и $\tau_2(U_1, U_2; t) = 0$.

Утверждение 2 Пусть для ряда S_N выполнено условие (4). Тогда

1. $\tau_2(\operatorname{Re} U_1, \operatorname{Im} U_1; 0) = 0$;
2. если $\alpha = 0$, то $\tau_1(\operatorname{Re} U_1, \operatorname{Im} U_1; 0) = 0$.

Алгоритм идентификации

Результатом этапа разложения алгоритма Complex SSA является набор собственных векторов U_1, \dots, U_d . Опишем алгоритм идентификации пар собственных векторов, соответствующих э.-м. гармоникам ранга 2. Пусть τ — рассматриваемый функционал (τ_1 или τ_2).

1. Для каждой пары U_i, U_j , $i < j$, решается оптимизационная задача

$$\tau(U_i, U_j; t) \longrightarrow \min_t.$$

Пусть минимум достигается на $t_{i,j}$ и минимальное значение функционала равно $\tau_{i,j}$.

2. Если идентификация визуальная, то среди двумерных диаграмм отдельно вещественных и мнимых частей U_i и $e^{i2\pi t_{i,j}}$ ищутся те, где изображение обладает свойствами, близкими к свойствам, соответствующим нулевому значению функционала τ (см. замечание 2).
3. Если идентификация автоматическая, то отбираются те пары U_i, U_j , у которых значение функционала $\tau_{i,j}$ меньше заданного порога, если неизвестно число э.-м. гармоник, и пары с минимальными значениями функционала, если их количество известно.

На этапе восстановления, идентифицированные пары собственных векторов образуют группы, на основе которых делается восстановление.

Для идентификации э.-м. гармоник ранга 1 оптимизация не нужна. В остальном принцип идентификации тот же.

Пример

Рассмотрим ряд $F_N = S_N^{(1)} + S_N^{(2)} + S_N^{(3)} + R_N$ с

$$\begin{aligned}
 s_k^{(1)} &= 10 \cos(2\pi k/25) + 20i \cos(2\pi k/25), \\
 s_k^{(2)} &= e^{0.004k} (\cos(2\pi k/5) + 70i \cos(2\pi k/5 + \pi/4)), \\
 s_k^{(3)} &= e^{0.005k} (\cos(2\pi k/10) + i \sin(2\pi k/10)), \\
 r_k &= \varepsilon_k^{(1)} + i \varepsilon_k^{(2)},
 \end{aligned}$$

где $\varepsilon_k^{(1)}$ и $\varepsilon_k^{(2)}$ — независимые реализации стандартного нормального распределения $N(0, 1)$, $1 \leq k \leq N$, $N = 199$. Здесь $S_N^{(1)}$ — гармоника с рангом 2, $S_N^{(2)}$ — э.-м. гармоника с рангом 2, $S_N^{(3)}$ — э.-м. гармоника с рангом 1, а R_N — шум. Возьмем длину окна $L = 100$. Тогда $K = 100$ тоже.

Посмотрим на результат работы алгоритма с функционалом τ_2 для этого ряда. Для реализации метода Complex SSA использовался R-пакет RSSA [6].

На рис. 1 изображены двумерные диаграммы пар собственных векторов (их мнимых и вещественных частей, на одном и том же рисунке), полученных в результате применения Complex SSA. После работы алгоритма идентификации с минимизацией функционала τ_2 диаграммы имеют вид, изображенный на рис. 2. Видно, что компоненты 1–2 и 3–4 относятся к э.-м. гармоникам с $d = 2$. Минимальные значения функционала τ_2 для первых восьми последовательных пар равны 1.99e-05, 0.65, 2.86e-05, 0.32, 1.06, 1.11, 0.59, 1.47 и подтверждают визуальный выбор.

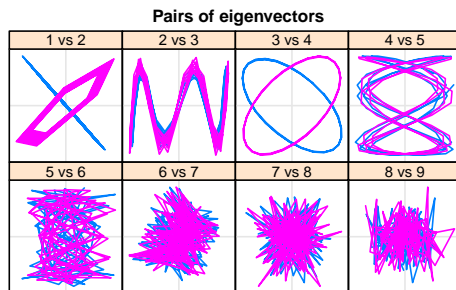


Рис. 1: Двумерные диаграммы собственных векторов для ряда F_N .

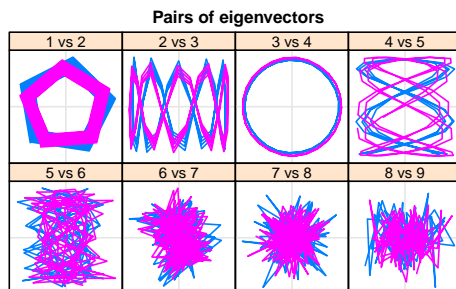


Рис. 2: Двумерные диаграммы собственных векторов для ряда F_N после работы алгоритма.

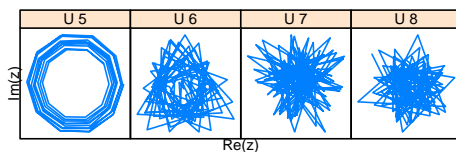


Рис. 3: Двумерные диаграммы вещ. и мним. частей собственных векторов для ряда F_N .

Далее ищем регулярные изображения в виде спирали на двумерной диаграмме вещественной и мнимой частей каждого собственного вектора отдельно (Рис. 1), исключая из рассмотрения компоненты 1–4. Видно, что вектор 5 относится к компоненте с $d = 1$.

Заключение

В работе был представлен новый алгоритм идентификации экспоненциально-модулированных гармоник с помощью комплексной модификации метода SSA. На примерах была продемонстрирована работоспособность метода.

Литература

- [1] Th. Alexandrov, N. Golyandina. Automatic extraction and forecast of time series cyclic components within the framework of SSA. In *Proceedings of the 5th St.Petersburg Workshop on Simulation*, pages 45–50. St. Petersburg State University, 2005.
- [2] K. Eftaxias, S. Enshaefar, O. Geman, S. Kouchaki, S. Sanei. Detection of Parkinson's tremor from EMG signals; a singular spectrum analysis approach. In *2015 IEEE International Conference on Digital Signal Processing (DSP)*. pages 398–402, 2015.
- [3] Н. Голяндина, В. Некруткин, Д. Степанов. Варианты метода 'Гусеница'-SSA для анализа многомерных временных рядов. В: *Труды II Международной конференции 'Идентификация систем и проблемы управления'*, с. 2139–2168. Москва, 2003.
- [4] N. Golyandina, V. Nekrutkin, A. Zhigljavsky. *Analysis of Time Series Structure: SSA and Related Techniques*. Chapman&Hall/CRC, 2001.
- [5] C. Keppenne, U. Lall. Complex singular spectrum analysis and multivariate adaptive regression splines applied to forecasting the southern oscillation. *Exp. Long-Lead Forcst. Bull.*, 1996.
- [6] A. Korobeynikov, A. Shlemov, K. Usevich, N. Golyandina. *Rssa: A collection of methods for singular spectrum analysis*, 2015. R package version 0.13-1.